

Vývoj spoločenstiev vápnitých nanofosílií Viedenskej panvy ako odraz paleoenvironmentálnych zmien počas vrchného bádenu (Devínska Nová Ves – tehelňa)

Michal Jamrich & Eva Halássová

Katedra geologie a paleontológie, Prírodovedecká fakulta, Univerzita Komenského v Bratislave, Mlynská dolina G, 842 15 Bratislava;
jamrich@fns.uniba.sk, halasova@fns.uniba.sk

AGEOS

The evolution of the Late Badenian calcareous nannofossil assemblages as a reflexion of the palaeoenvironmental changes of the Vienna Basin (Devínska Nová Ves – clay pit)

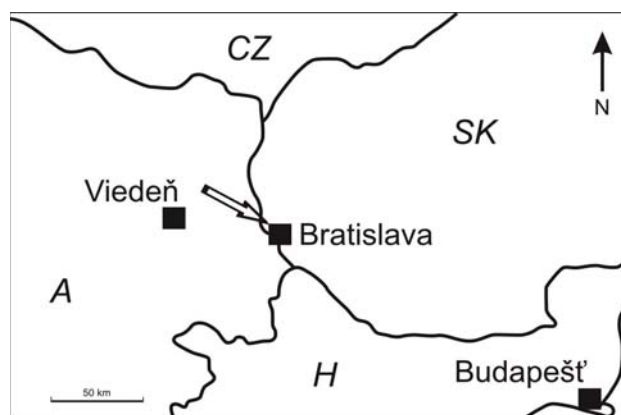
Abstract: This paper discusses the results of the calcareous nannofossils study from the Studienka Formation of the Vienna Basin, locality Devínska Nová Ves – clay pit (section DNV 1). Quantitative analysis of nannofossil assemblages from the sixty nine samples of the studied profile were performed. The age of sediments was determined as Late Badenian and correlated with NN6 Discoaster exilis Zone.

Abundance patterns indicate: (1) prevailing of small *Reticulofenestra* over *Coccolithus pelagicus* (indicating nearshore environment with nutrient supply); (2) abundance of *Holodiscolithus macroporus*, low abundance of sphenoliths and rare discoasterids (cooling trend); (3) local enrichment of species *Helicosphaera carteri*, *H. wallichii* and *Syracosphaera pulchra* (eutrophy); (4) higher abundance of *Braarudosphaera bigelowii bigelowii*, *B. bigelowii parvula* (salinity decrease); (5) locally higher abundance of helicospherids and reworked nannofossils (higher turbulence of palaeoenvironment). Increased abundances of the species *Holodiscolithus macroporus* were noticed and quantified for the first time in the Upper Badenian sediments of the Central Paratethys. Cluster analysis was performed on the assemblage data. Four groups related to different temperature, trophic and salinity conditions have been distinguished.

Key words: Vienna Basin, Studienka Formation, Devínska Nová Ves – clay pit, Late Badenian, calcareous nannofossils, statistics, biostratigraphy, palaeoecology

1. ÚVOD

Článok prezentuje výsledky detailného štúdia vápnitých nanofosílií získaných z miocénnych sedimentov studienčanského súvrstvia na lokalite Devínska Nová Ves – tehelňa, situovanej na východnom okraji slovenskej časti Viedenskej panvy (Obr. 1). Sedimenty na lokalite sú zastúpené šedými až zelenkastými vápnitými ílmi s ojedinelými vložkami slieňovca sivej farby s horizontálnou vrstevnatostou. Boli v nich nájdené kostry rýb (Heckel, 1850, 1856; Heckel & Kner, 1861), otolity (Horák, 1985), ježovky, lastúrniky, ulytníky a mikrofosílie (Sieber, 1934; Ondrejíčková, 1971; Lehotaová, 1977, 1989; Laurenčíková, 1978; Švagrovský, 1981; Zlinská, 1987; Hudáčková & Kováč, 1993; Tomašových, 1998; Kováč et al., 2007), šísky a iné časti rastlín (Berger, 1951; Sitár & Kováčová-Slamková, 1999). Činčurová (1990) zaznamenala prvý nález sépie na Slovensku (*Sepia vindobonensis* Schloenbach, 1869). Medzi najnovšie práce zaoberejúce sa touto lokalitou patria publikácie Hudáčková & Spezzaferi (2002), Hudáčková et al., (2003), Kováčová et al. (2008), Kováčová & Hudáčková (2009), diplomové práce Koubová (2006) a Jamrich (2008).

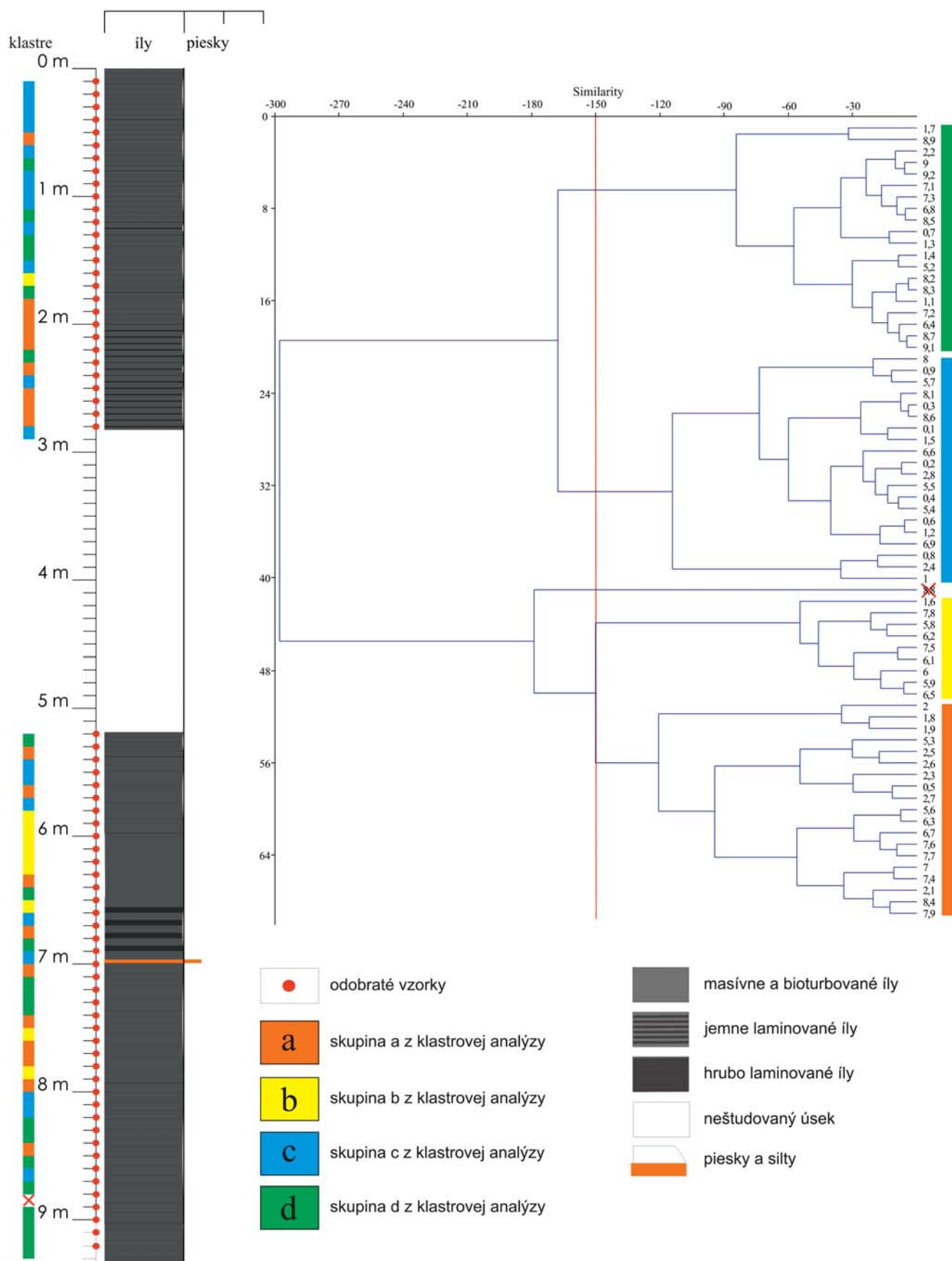


Obr. 1. Lokalizácia profilu DNV 1 – tehelňa.

Fig. 1. Localization of DNV 1 – clay pit.

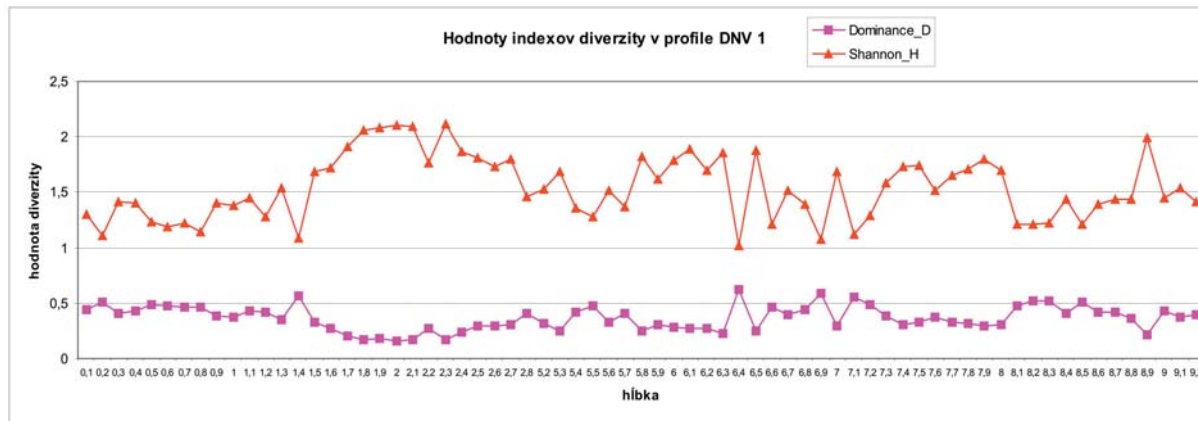
2. METÓDY

V študovanom profile tehelne Devínska Nová Ves (profil DNV 1) bolo odobratých 69 vzoriek z hĺbkového intervalu 0,1–2,8 m a 5,2–9,2 m. Hustota odberu vzoriek bola 10 cm (Obr. 2). Vápnité



Obr. 2. Litologický profil odkryvu DNV 1 – tehelná s rozložením klastrov, vzorka 8,8 m – outlier.

Fig. 2. Lithological profile of the DNV 1 – clay pit section, with distribution of clusters, sample 8.8 m – outlier.



Obr. 3. Graf hodnôt diverzity a dominancie v profile DNV 1 – tehelňa.

Fig. 3. Diversity and dominance graph of the DNV 1 – clay pit section.

nanofosílie boli študované v práškových preparátoch pripravenej metodou dekantácie, keď suspenziu vytvorenú zaliatím 3 zo rozdruvenej horniny destilovanou vodou do výšky 4,5 cm zbaňujeme hrubej a ľahkej frakcie. Hrubá frakcia klesne na dno skúmavky po 3 minútach, jemná frakcia (okolo 2 μm) sa usadí po 45 minútach. Suspenzia je nakvapkaná na podložné sklíčko po klesnutí hrubej frakcie a po vysušení pripravená na pozorovanie pod svetelným polarizačným mikroskopom Olympus BX 50 pri zväčení 1250x. Pre účely kvantifikácie získaných miocénnych taxónov bolo z každej vzorky napočítaných 200 jedincov. Na spracovanie údajov boli použité programy Microsoft Excel, Microsoft Access (databáza upravená Hudáčkovou & Hudáčkom, 2001), PAST – Paleontological Statistics, ver. 1.70 (Hammer et al., 2001) a POLPAL (Walanus & Nalepka, 2006).

3. VÝSLEDKY

3.1. Všeobecná charakteristika spoločenstiev

V študovaných vzorkách majú dominantné zastúpenie nasledovné druhy: *Reticulofenestra haqii* (3 až 5 μm), *R. minuta* (< 3 μm), *Coccolithus pelagicus*, *Holodiscolithus macroporus* a *Syracosphera pulchra* (Appendix, Tab.1a-d, 2). V predloženej práci je prvýkrát zaznamenaná, kvantifikovaná a interpretovaná zvýšená abundancia *Holodiscolithus macroporus* v sedimentoch vrchnobádenského veku. V profile sú pozorované zvýšené hojnosti *H. macroporus* takmer súvislo od bázy, od vzorky 57/24 (číslo vzorky/počet jedincov) po vzorku 33/33, s maximom vo vzorkách 47/33 a 33/33, a v intervale vzoriek od 25/14 po 17/29, s maximom vo vzorke 18/42 a 19/51. Pomerne často sa v skúmaných vzorkách vyskytujú aj druhy *Helicosphaera carteri* (55/19), *H. wallichii* (39/16), *Rhabdosphaera sicca* (66/13), *Sphenolithus abies* (14,15,56/8), *Umbilicosphaera rotula* (51/12), *Pontosphaera multipora* (35,39/7), *Braarudosphaera bigelowii* (57/11) a *B. bigelowii parvula* (16/16) (Appendix, Tab.1a-d).

Ostatné formy sa vo vzorkách nachádzajú len v malom počte (od 1 po 6 exemplárov na vzorku) – *Calcidiscus leptoporus*, *Calciosolenia murrayi*, *Coccolithus miopelagicus*, *Coronocyclus*

nitescens, *Cyclicargolithus floridanus*, *Discoaster deflandrei*, *D. variabilis*, *Lithostromation perdurum*, *Perforocalcinella fusiformis*, *Scyphosphaera* sp., *Micrantolithus vesper*, *M. flos* a *Thoracosphaera* spp. Ojedinelo sú zastúpené markerové druhy zóny vápnitého nanoplanktonu NN6 ako *Discoaster exilis* (4/1), *Calcidiscus premaciintyrei* (55,59/2), *Triquetrorhabdulus rugosus* (35/2), *T. milowii*, *T. río* a *Orthorhabdus serratus* (19, 27, 33, 44, 46, 51, 52, 56, 67, 68/1) (Appendix, Tab.1a-d, 2).

Okrem autochtonných nanofosílií vrchnobádenského veku boli vo vzorkách identifikované redeponované nanofosílie spodnomiocénneho, paleogénneho a kriedového veku (Appendix, Tab.3a-b).

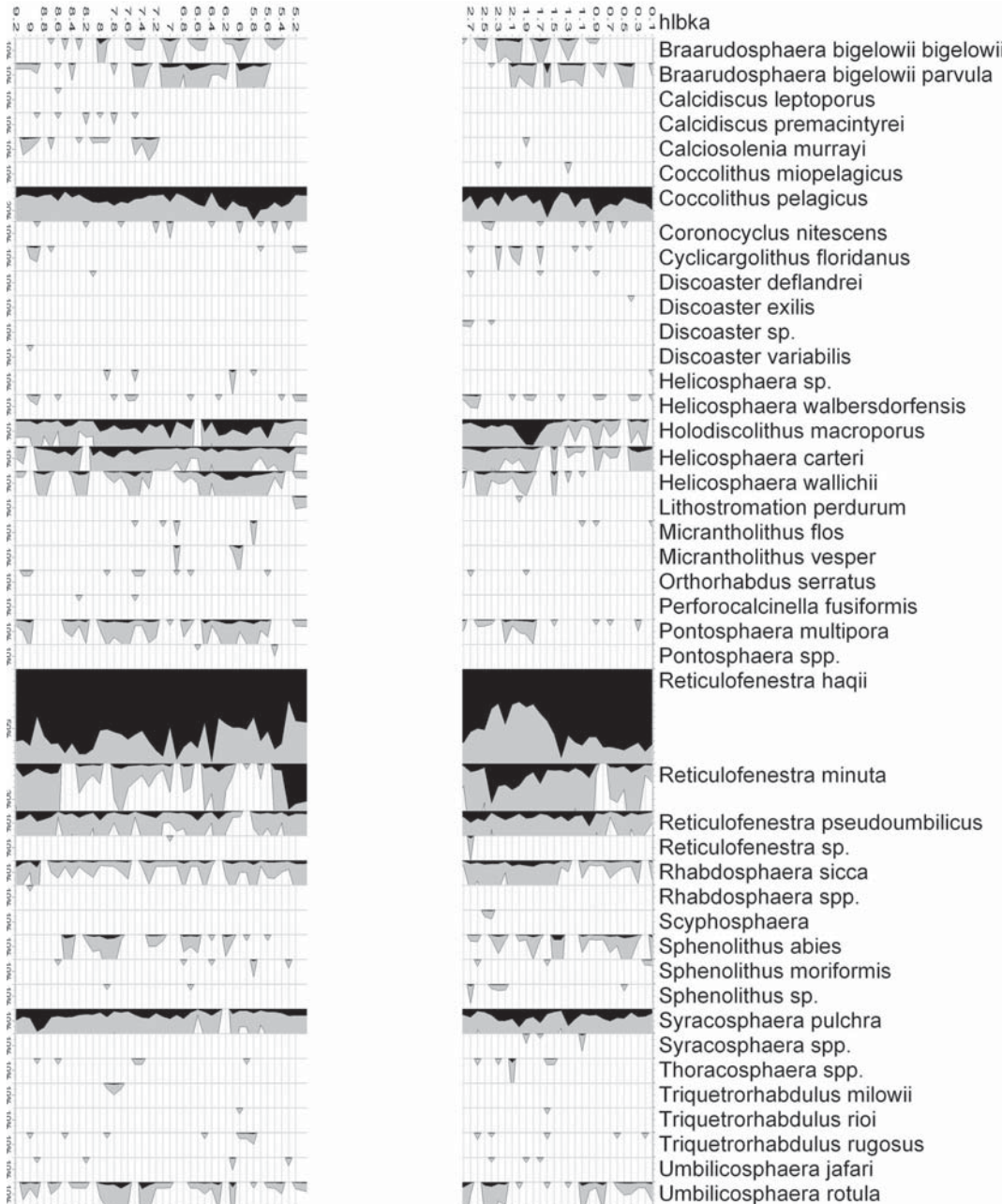
3.2. Biostratigrafia

Zistené spoločenstvo možno priradiť k nanoplanktonovej zóne NN6 *Discoaster exilis*, napoko vo vzorkách študovaného profilu v najbazálnejšej časti nebol identifikovaný druh *Sphenolithus heteromorphus*, ktorého LO (posledný výskyt) indikuje vrchnú hranicu zóny NN5 *Sphenolithus heteromorphus* a súčasne bázu zóny NN6 *Discoaster exilis* (Martini, 1971). *Sphenolithus heteromorphus* bol ďalej pozorovaný len po jednom exempláre vo vzorkách 4, 17 a 31; dva exempláre vo vzorkách 15 a 37. Považujeme ho za redeposit vzhľadom k tomu, že vo vzorke 37 je už zastúpený *Triquetrorhabdulus rugosus*, ktorého FO (prvý výskyt) sa štandardne uvádzá v spodnej časti zóny NN6 (Young, 1998; 2010).

Biostratigrafické závery na základe vápnitých nanofosílií sú korelované s dierkavcami. Zóna Bulimina–Bolivina (Grill, 1941) a bentický druh *Pappina neudorfensis* (Toula) potvrdzujú neskorobádenský vek študovaných sedimentov (Kováčová & Hudáčková, 2009).

3.3. Výsledky štatistikých analýz

Súčasťou štúdia bolo štatistické vyhodnotenie spoločenstiev vápnitých nanofosílií. Prostredníctvom grafov diverzity, dominancie a klastrových analýz boli interpretované trendy paleoprostredia povrchových vodných más.



Obr. 4. Schéma vertikálnej distribúcie a abundancie autochtonných vápnitých nanofosílií.

Fig. 4. Vertical distribution and abundance scheme of the autochthonous calcareous nannofossils.

Na základe výpočtu diverzity boli zistené jej najvyššie hodnoty vo vzorkách 23 ($D = 2,12$); 18–21 ($D = 2,063$ – $2,097$) a 66 ($D = 1,989$), a dominantné zastúpenie *Reticulofenestra haqii* (Obr. 3, 4).

Klastrovou analýzou boli vzorky usporiadane do 4 klastrov (A, B, C, D) na hladine podobnosti -150. Vstupná matica pozostávala z abundancie taxónov usporiadaných do ekologických skupín. Ako združovací algoritmus bola použitá Wardova metóda (Hebák & Hustopecký, 1987). Vzorka z hĺbky 8,8 m nebola zaradená do žiadneho klastra (nesplnenie štandardnej abundancie 200 jedincov pre ochudobnené spoločenstvo vápnitých nanofosílií v analyzovanej vzorke).

Klaster A možno charakterizať popri dominancii *Reticulofenestra haqii* aj najvyššou abundanciou *Holodiscolithus macroporus* v profile. *Braarudosphaera bigelowii bigelowii*, *B. bigelowii parvula*, *Coccolithus pelagicus*, *Helicosphaera carteri*, *Reticulofenestra minuta*, *R. pseudoumbilicus*, *Rhabdosphaera sicca*, *Sphenolithus abies*, *Syracosphaera pulchra* a *Umbilicosphaera rotula* dosahujú tiež pomerne vysoké hodnoty abundancie. V tejto skupine boli pozorované najvyššie počty redeponovaných nanofosílií kriedového a paleogénneho veku.

Klaster B sa odlišuje od predchádzajúceho nižším počtom *Reticulofenestra haqii*, *R. minuta*, *R. pseudoumbilicus*, *Holodiscolithus macroporus*, *Rhabdosphaera sicca* a *Syracosphaera pulchra*.

Vyššie hodnoty abundancie ako v klastri A má *Coccolithus pelagicus*. *Helicosphaera wallichii*, *Braarudosphaera bigelowii parvula* a *Pontosphaera multipora* dosahujú najvyššie hodnoty v profile.

Všetky hore menované druhy možno nájsť aj v klastri C s dominanciou druhu *Reticulofenestra haqii* (najvyššou v rámci študovaného profilu); *Coccolithus pelagicus* dosahuje podobné hodnoty ako v klastoch A a B; nízka abundancia sa prejavuje u druhov *Rhabdosphaera sicca*, *Sphenolithus abies* a *Holodiscolithus macroporus*. *Helicosphaera carteri* má podobné hodnoty abundancie ako v klastri A. Lokálne je pozorované zvýšenie počtu jedincov *Braarudosphaera bigelowii* a *Coccolithus pelagicus*. Počet exemplárov *Braarudosphaera bigelowii parvula*, *Helicosphaera wallichii* a *Syracospaera pulchra* je podobný ako v klastri A. Pozorované je zväčša nízke zastúpenie *Umbilicosphaera rotula*, *Pontosphaera multipora* dosahuje najnižšie hodnoty abundancie. Vo vzorke číslo 4 bol určený jeden exemplár *Discoaster exilis* v profile.

V klastri D dominuje *Reticulofenestra haqii*. V rámci profilu sa tu najpočetnejšie vyskytuje *Syracospaera pulchra*, najmenej *Coccolithus pelagicus* a *Braarudosphaera bigelowii parvula*. Hodnoty podobné ako v klastri A dosahujú *Pontosphaera multipora*, *Sphenolithus abies* a *Rhabdosphaera sicca*. V tejto skupine bol pozorovaný jeden exemplár *Discoaster variabilis* (67/1).

Na základe rozloženia klastrov v profile boli vyčlenené úseky (Obr. 2). Prvý úsek od bázy študovaného profilu 9,20 po 8,20 m je charakterizovaný striedaním vzoriek klastrov C a D, v jednom prípade je zastúpený klaster A. V druhom úseku od 8,2 do 7,5 m je pozorované zastúpenie vzoriek patriacich klastrom A a B. Tretí úsek v intervale 7,5 až 6,6 m obsahuje vzorky klastrov A, C, a D. Vo štvrtom úseku 6,6 až 5,8 m prevažujú vzorky klastra B a po jednej z klastrov A a D. Piaty úsek od 5,8 do 5,2 m obsahuje klastre A a C a v jednom prípade klaster D. V šiestom úseku v intervale od 2,8 do 1,9 m sa striedajú vzorky klastrov A a C a v jednom prípade D. V siedmom úseku od 1,9 do 0,1 m sú vzorky klastrov C a D a v jednom prípade A a B.

4. DISKUSIA

Dôležitou časťou diskusie je objasnenie environmentálnych charakteristík najvýraznejšie zastúpených druhov v študovanom profile. Vo vzorkách sú pozorované podobné spoločenstvá, odlišné sú len proporčné zastúpenia jednotlivých taxónov. Paleoekologické interpretácie možno odvodzovať na základe prevládania drobných retikulofenestrí (*Reticulofenestra haqii*, *R. minuta*) nad *Coccolithus pelagicus*, z variácií hojnosti *Holodiscolithus macroporus*, *Syracospaera pulchra*, *Rhabdosphaera sicca*, *Pontosphaera multipora*, *Sphenolithus abies*, helikosferíd (*Helicosphaera carteri*, *H. walbersdorffensis*, *H. wallichii*), braarudosferíd (*Braarudosphaera bigelowii*, *B. bigelowii parvula*) a redeponovaných nanofosílií kriedového, paleogénneho a spodnomiocénneho veku.

Kvantifikované abundancie *Holodiscolithus macroporus* umožnili potvrdiť pomerne vysoké zastúpenie tohto druhu v niektorých vzorkách profilu DNV 1 – tehelňa. Lehotačová (1989) indikovala zníženie teploty povrchových vodných más-

v období neskorého bádena práve na základe výskytu *H. macroporus* ako chladnovodného druhu (Cohen, 1964). Mihajlović & Knezević (1989) taktiež uvádzajú celkom časťe výskytu *H. macroporus* v sedimentoch vrchnobádenského veku z vrtov v oblasti Belehradu.

Marunteanu (1999 – oblasť Východných Karpát) vyčlenila v rámci vrchnej časti zóny NN6 podzónu NN6b *Syracolithus dalmaticus*, ktorú možno korelovať s intervalom zóny NN6, záhytenom na študovanom úseku profilu na lokalite Devínska Nová Ves – tehelňa. Formy uvádzané vo fotodokumentácii ako *Syracolithus dalmaticus* považujeme za *Holodiscolithus macroporus* (= mladšie synonymum *Syracospaera schilleri*). Dôvodom vyčlenenia podzóny bolo pravdepodobne výrazné zastúpenie *Holodiscolithus macroporus* v spoločenstvách vápnitých nanofosílií (Obr. 5). Kvantitatívne údaje však v spomínamej práci nie sú uvedené. Marunteanu et al. (1999) podávajú detailnejšie rozčlenenie zóny NN6 na NN6a-d. Podzóna *Syracolithus dalmaticus* tu má označenie NN6c.

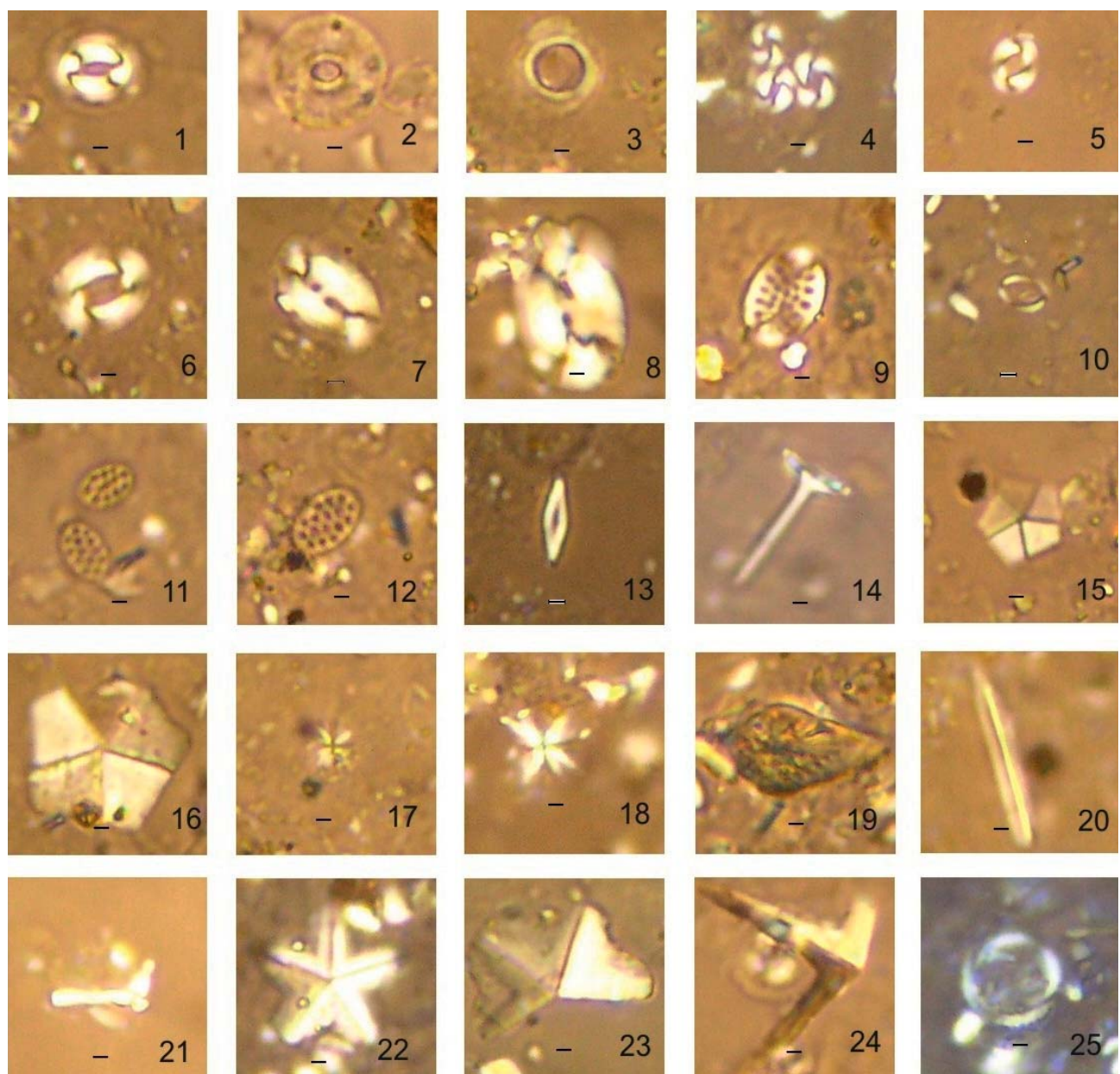
Ozdínová (2008a, b) uvádza vertikálnu distribúciu *Holodiscolithus macroporus* v priebehu zón NNS a NN6 vrtu Gajary 23 (Viedenská panva), NN6 vo vrte Čifer 1 a NNS až NN6 vo vrte ŠV 8 Semerovce (Dunajská panva). Počet jedincov *H. macroporus* vo vzorkách však nie je samostatne kvantifikovaný a interpretovaný.

Holodiscolithus macroporus má stratigrafické rozpätie od paleocénu (NP9) po pliocén (NN18) (Young, 2010). Zvýšené abundancie *H. macroporus* by mohli indikovať redepozíciu zo starších sedimentov. Tento názor však vyvracia nízky počet redeponovaných nanofosílií paleogénneho a spodnomiocénneho veku v študovaných vzorkách (Appendix, Tab.3b). Možno teda uvažovať o ich autochtonnej pozícii, čo potvrdzujú výskytu na rovnakej stratigrafickej úrovni aj v iných oblastiach Paratetýdy (Mihajlović & Knezević, 1989; Marunteanu, 1999; Marunteanu et al., 1999). Zvýšené abundancie *H. macroporus* na študovanom profile DNV 1 považujeme podobne ako Lehotačová (1989) za prejav ochladienia vodných más.

Coccolithus pelagicus je považovaný za významného paleoekologického indikátora (Haq et al., 1977). Tento druh je hojný v chladnej vode (Okada & McIntyre, 1979; Winter et al., 1994; Čorić & Hohenegger, 2008). Vyskytuje sa v teplotnom rozmedzí medzi -1,5 až +15 °C, s najvyššími abundanciami pri teplote vody od +2 do +12 °C (Čorić & Rögl, 2004). Čorić & Hohenegger (2008) uvádzajú, že vyššie proporcie tohto druhu indikujú vyšší obsah živín a eutrofické podmienky. Podľa prác Spezzaferri & Čorić (2001) a Tomanová Petrová & Švábenická (2007) hojnosť *Coccolithus pelagicus* dokumentuje príbrežné prostredie s prísnym živinami a intenzívny upwelling. V spoločenstvách vápnitých nanofosílií študovaného profilu tvorí *Coccolithus pelagicus* priemerne 20%, čo je abundancia, ktorú nemožno považovať za dôkaz ochladienia a upwellingu ako je uvádzané v texte vyššie.

Sphenolithaceae indikujú teplovodné a eutrofické prostredie (Perch-Nielsen, 1985). Prevažne nízke abundancie *Sphenolithus abies* môžu v našom prípade naznačovať relatívne chladnejšie povrchové vody.

Rod *Discoaster* je všeobecne považovaný za hojný v oligotrofických, teplých a hlbokooceánskych vodách (Čorić &



Obr. 5. Vysvetlivky k obrázku. Škála 1 mikrón.

Fig. 5. Figure explanations. Scale bar 1 micron.

1 – *Coccolithus pelagicus* (Wallich, 1877) Schiller, 1930; 2 – *Calcidiscus premacintyre* Theodoridis, 1984; 3 – *Umbilicosphaera rotula* (Kamptner, 1956) Varol, 1982; 4 – *Reticulofenestra minuta* Roth, 1970; 5 – *Reticulofenestra haqii* Backmann, 1978; 6 – *Reticulofenestra pseudoumbilicus* (Gartner, 1967b) Gartner, 1969c; 7 – *Helicosphaera carteri* (Wallich, 1877) Kamptner, 1954; 8 – *Helicosphaera wallichii* (Lohmann, 1902) Boudreaux & Hay, 1969; 9 – *Pontosphaera multipora* (Kamptner, 1948) Roth, 1970; 10 – *Syracosphaera pulchra* Lohmann, 1902; 11, 12 – *Holodiscolithus macroporus* (Deflandre in Deflandre & Fert, 1954) Roth, 1970; 13 – *Calciosolenia murrayi* Gran, 1912; 14 – *Rhabdosphaera sicca* (Stradner, 1963) Fuchs & Stradner, 1977; 15 – *Braarudosphaera bigelowii parvula* Stradner, 1960; 16 – *Braarudosphaera bigelowii* (Gran&Braarud, 1935) Deflandre, 1947a; 17, 18 – *Sphenolithus abies* Deflandre and Fert, 1954; 19 – *Triquetrorhabdulus rugosus* Bramlette & Wilcoxon, 1967a; 20 – *Triquetrorhabdulus río* Olafsson, 1989; 21- *Orthorhabdus serratus* Bramlette & Wilcoxon, 1967a; 22, 23 – *Micrantholithus flos* Deflandre in Deflandre & Fert, 1954; 24 – *Micrantholithus vesper* Deflandre in Deflandre & Fert, 1954; 25 – *Coronocyclus nitescens* (Kamptner, 1956) Bramlette & Wilcoxon, 1967a.

Hohenegger, 2008). Ojedinelý výskyt diskasterov v študovanom profile potvrdzuje príbrežné prostredie a chladnejšie povrchové vody.

Na trend ochladzovania v období neskorého bádena, ktorý nám v študovanom profile indikujú abundancie *Holodiscolithus macroporus*, ojedinelé diskastery a nízke hojnosti *Sphenolithus abies*, poukazujú aj iné organické skupiny (Hudáčková & Spezzaferi, 2002; Hudáčková et al., 2003; Koubová, 2007; Kováčová et al., 2008; Kováčová & Hudáčková, 2009) – dierkavce s pomerne stálou prevahou *Globigerina bulloides* a vápnité dinocysty nástupom tabulátnych dinoflagelát reprezentovaných druhmi *Calcidinellum limbatum*, *C. aff. operosum*, *Juergenella remanei*, *Caracomia arctica forma duplicata* a *C. arctica forma spinosa* (Streng et al., 2009).

Zaznamenané ochladenie povrchových vodných más je korelatívne s globálnym ochladením pozorovaným v strednom miocene svetových oceánov (Flower & Kennett, 1994), ktoré ako bolo potvrdené aj na základe získaných izotopových dát ovplyvnilo vývoj teploty vo Viedenskej panve a iných častiach Centrálnej Paratetydy (Predkarpatská panva, Karpatská predhlbeň, Panónska panva) (Hudáčková et al., 2003; Báldi, 2006; Kováčová, 2008; Kováčová et al., 2008).

Drobné retikulofenestrídy dominujú nanoplanktonovým spoločenstvám pozdĺž kontinentálnych okrajov (Haq, 1980; Čorić & Hohenegger, 2008). Andreeva-Grigorovich (1998) považuje rozkvet drobných retikulofenestrí za prejav stresových podmienok prostredia ako zníženie salinity a teploty. Wade & Bown (2006) opisujú ich toleranciu na bracké až hypersalinné prostredia. Rozkvet drobných druhov *Reticulofenestra* spp. je všeobecne považovaný za indíciu zmien v živinovej dynamike (Gartner et al., 1983; Tomanová Petrová & Švábenická, 2007; Holcová & Zágoršek, 2008). Názory autorov na interpretáciu živinových podmienok počas rozkvetu drobných *Reticulofenestra* spp. sa líšia. Niektorí považujú vysoké abundancie drobných retikulofenestrí za indíciu oligotrofických podmienok (Čorić & Rögl, 2004; Holcová & Zágoršek, 2008). Druhá možná interpretácia je prezentovaná v prácach Negri & Villa (2000) a Holcová & Zágoršek (2008), ktorí tento jav považujú za typický pre oblasti výstupných hlbinných prúdov a obdobia vysokej produktivity. Dominanciu *Reticulofenestra haqii* pozorovanú na profile DNV 1 – tehľňa možno dať do súladu s posledným hore uvádzaným názorom. Potvrdzujú to aj práce Hudáčková et al. (2003), Koubová (2006), Kováčová (2008), Kováčová et al. (2008) a Kováčová & Hudáčková (2009), ktoré informujú o hojnom výskute planktonickej foraminifery *Globigerina bulloides* (d'Orbigny) charakterizujúcej eutrofické prostredie.

Vo vzorkách študovaného profilu možno pozorovať lokálne zvýšené abundancie *Syracosphera pulchra*, ktorá sa podľa pozorovaní Andruseita & Rogalla (2002) viaže na príbrežné podmienky s vysokou dostupnosťou živín.

Braarudosphaera bigelowii bigelowii preferuje bracké prostredie (Bukry, 1974). Podľa Báldi-Béke (1984) ide o príbrežné formy s toleranciou k poklesu salinity. Švábenická (1999) uvádza rozkvet *Braarudosphaera bigelowii bigelowii* v epikontinentálnych morských sedimentoch vrchnoturónskeho veku Českej kriedovej panvy, ktorý bol spôsobený prínosom terigénneho materiálu do panvy. Tomanová Petrová & Švábenická (2007)

považujú reprezentantov čeľade Braarudosphaeraceae za indikátorov plytkovodných epikontinentálnych morí a šelfových oblastí. Lokálne zvýšenie hojnosti braarudosferí na študovanom profile interpretujeme ako následok zmeny v salinitnom režime panvy na hyposalínny, ktorý mohol byť spôsobený zvýšenou eutrofikáciou prostredia vplyvom prínosu kontinentálnych vôd bohatých na živiny alebo príbrežného upwellingu.

Zvýšený výskyt jedincov čeľade Helicosphaeraceae signalizuje plytkomorské prostredie pod vplyvom vzostupných hlbinných prúdov (Perch-Nielsen, 1985; Čorić & Hohenegger, 2008). Výskumy žijúcich exemplárov *Helicosphaera carteri* z Atlantického oceánu (McIntyre & Bé, 1967; Okada & McIntyre, 1979) a Tichého oceánu (Okada & Honjo, 1973) dokazujú, že tento druh môže tolerovať rozsahy teplôt od 5°C do 30°C (Okada & McIntyre, 1979). Čorić & Hohenegger (2008) spájajú lokálne zvýšenie abundancie helikosfér so zvýšenou turbulenciou prostredia.

Pontosphaeraceae sú typické pre hemipelagické, príbrežné prostredie (Perch-Nielsen, 1985; Chira, 2004), akým bolo aj sedimentačné prostredie študovanej lokality.

Lokálne zvýšenie hojnosti redeponovaných nanofosílií v študovanom profile môžu byť spôsobené viacerými príčinami (turbulenciou vodných más a kontinentálnym prínosom).

Získané klastre možno na základe environmentálnych nárokov druhov dominujúcich vo vzorkách profilu interpretovať nasledovne:

Klaster A: Tento klaster poukazuje na podmienky príbrežného prostredia s lokálnymi indíciami hyposalinity, s dostupnosťou živín, trendom ochladenia a prejavmi turbulencie povrchových vodných más.

Klaster B: Oproti klastru A pozorujeme nižšie zastúpenie chladnovodného druhu, jemne zvýšenú turbulenciu prostredia, dostupnosť živín a lokálne prejavy zníženia salinity.

Klaster C: Odráža príbrežné prostredie, teplejšie v porovnaní s klastrami A a B, s lokálnymi indíciami hyposalinity a mierneho prehľbenia v porovnaní s týmito klastrami.

V klastri D sa odrážajú podobné podmienky ako v klastri C s miernymi odlišnosťami, s normálnymi salinitnými pomermi prostredia, s trendom zvýšenej eutrofie v porovnaní s ostatnými klastrami.

Na základe oscilácie klastrov v profile možno v úseku 9,20 po 8,00 m uvažovať o normálnych podmienkach príbrežného morského prostredia s lokálnym znížením salinity v 8,0 m, indíciou ochladenia na 8,4 m a dobrú dostupnosťou živín. V úseku od 7,3 do 7,1 m pretrvávajú normálne podmienky povrchových vôd a dobrá dostupnosť živín, predpokladať možno zníženie salinity na úrovni 7,1 m. V úseku 7,0 m do 6,6 m sa striedajú eventy ochladenia a zvýšenia teploty povrchových vodných más, pri zníženej saliniti a dostupnosti živín. V nadložnom úseku 6,5 až 5,8 m ide o chladnejšiu periódus s trendom oteplenia na úrovni 6,4 m. Tento úsek poukazuje na zvýšenú turbulenciu prostredia. Najvyššie hodnoty abundancie *Braarudosphaera bigelowii parvula* v profile môžu byť indíciou hyposalinity. V úseku od 5,7 do 5,2 m sa prejavujú oscilácie trendov zníženia a zvýšenia teploty, dostupnosti živín a zvýšenia turbulencie prostredia. Úsek v intervale od 2,8 až 1,8 m poukazuje na podmienky príbrežného prostredia pod vplyvom chladnejších povrchových vod-

ných más, s dostatkom živín a v hĺbkach 2,1 a 2,0 m s prejavmi zníženej salinity vplyvom vyšieho prítoku sladkej vody, s čím pravdepodobne súvisí aj záznam najvyššieho počtu redepozitov. V úseku profilu od 1,7 po 0,1 m už nie sú dôkazy ochladzovania, lokálne sa prejavuje pokles salinity (1,6 m), občasne vyšie počty redeponovaných nanofosílií (1,7 až 1,4; 0,8; 0,5; 0,4 a 0,1 m).

5. ZÁVER

Zo sedimentov studienčanského súvrstvia Viedenskej panvy na profile DNV 1 bolo získaných 69 vzoriek metódou veľmi hustého odberu (interval odberu 10 cm). Poskytli pomerne dobre zachované spoločenstvá vápnitých nanofosílií vrchnobádenskej zóny NN6 Discoaster exilis s dominanciou *Reticulofenestra haqii* a za-stúpením *Braarudosphaera bigelowii bigelowii*, *B. bigelowii parvula*, *Coccolithus pelagicus*, *Holodiscocithus macroporus*, *Helicosphaera carteri*, *H. walbersdorffensis*, *H. wallichii*, *Pontosphaera multipora*, *Rhabdosphaera sicca*, *Sphenolithus abies*, *Syracosphaera pulchra*, *Umbilicosphaera rotula* a s redeponovanými nanofosíliami kriedového, paleogénneho a spodnomiocénneho veku.

Spoločenstvá vápnitých nanofosílií poukazujú na príbrežné prostredie s osciláciami v teplotnom (variácie v abundanciach chladnovodného indikátora *Holodiscocithus macroporus*, ojedinelé zastúpenie diskasterov, nízky počet sfenolitov) a salinitnom režime (hyposalinitu indikujú zvýšenia hojností braarudosferíd), s dosťatočným prísnom živín (vysoké abundancie *Reticulofenestra haqii*, *R. minuta*, zvýšenie hojnosti *Syracosphaera pulchra*) a s prejavmi turbulencie povrchových vôd (helikosferidy, lokálne zvýšená abundancia redeponovaných nanofosílií).

Prvýkrát boli zaznamenané, kvantifikované pomerne výrazné abundancie *Holodiscocithus macroporus* v sedimentoch vrchnobádenského veku Centrálnej Paratetydy, ktoré považujeme za prejav ochladenia vodných más v súvislosti s globálnym ochladením, pozorovaným v strednom miocene svetových oceánov (strednomiocénny klimatický prechod, MMCT), ktoré ovplyvnilo vývoj teploty vo Viedenskej panve a aj v iných častiach Centrálnej Paratetydy (Predkarpatská panva, Karpatská predhlbeň, Panónska panva).

V práci bola na základe kvantitatívnych údajov prevedená klastrová analýza, ktorou boli zoskupené vzorky s podobnými spoločenstvami do 4 klastrov (A, B, C, D). Vertikálna distribúcia vygenerovaných klastrov v študovanom profile umožňuje pozorovať úseky s prevládaním jedného klastra (klastr D od 9,2 po 8,90 m, klastr B od 6,3 po 5,8 m, klastr A od 1,8 po 2,7 m, klastr C od 1,1 po 0,1 m) a úseky s častým striedením sa rôznych klastrov, ktoré odrážajú rozdielnú dynamiku trendov vývoja paleoenvironmentálnych podmienok.

Študovaný profil DNV 1 s výhodnotením distribúcie a kvantitatívneho zastúpenia vápnitých nanofosílií prispieva k interpretácii charakteristiky paleoprostredia neskorobádenského bazénu Viedenskej panvy a predstavuje primárny korelačný profil sedimentov vrchnobádenského veku na regionálnej úrovni.

Podakovanie: Tento príspevok vznikol za podporu Grantu UK č. UK/178/2009; projektu APVV 51-011305, APVV-0280-07 a ESF-EC-0009-07.

Použitá literatúra

- Andreeva-Grigorovich A.S., 1998: Ekogrupy nannoplanktonu z-verchnebadenských tanyznesarmatských vidkladiiv Peredkarpattia. *Paleontologičnyj zbirnyk*, 32, 63–69.
- Andruleit H. & Rogalla U., 2002: Coccolithophores in surface sediments of the Arabian Sea in relation to environmental gradients in surface waters. *Marine Geology*, 186, 505–526.
- Báldi K., 2006: Paleoceanography and climate of the Badenian (Middle Miocene, 16,4–13,0 Ma) in the Central Paratethys based on foraminifera and stable isotope ($\delta^{13}\text{C}$) evidence. *International Journal of Earth Sciences*, 95, 119–142.
- Báldi-Béké M., 1984: A dunántúli paleogén képződmények nannoplaktonja. *Geologica Hungarica, Series Paleontologica*, 43, 1–307.
- Berger W., 1951: Pflanzenreste aus den tortonischen Tegel von Treben – Neudorf bei Pressburg. *Sitzungsberichte der Kaiserlichen Akademie der Wissenschaften, mathematish – naturwissenschaftliche Klasse*, 1, 3–4, 273–278.
- Bukry D., 1974: Coccolith stratigraphy, offshore Western Australia, Deep Sea Drilling Project Leg 27. *Initial Reports of the Deep Sea Drilling Project* 27, 623–630.
- Chira C., 2004: Early Miocene calcareous nannofossils assemblages from Transylvania. *Acta Palaeontologica Romaniae*, 4, 81–88.
- Cohen C.L.D., 1964: Coccolithophorids from two Caribbean deep-sea cores. *Micropaleontology*, 10, 231–250.
- Čorić S. & Rögl F., 2004: Roggendorf-1 borehole, a key-section for Lower Badenian transgressions and the stratigraphic position of the Grund Formation (Molasse Basin, Lower Austria). *Geologica Carpathica*, 55, 2, 165–178.
- Čorić S. & Hohenegger J., 2008: Quantitative analyses of calcareous nanoplankton assemblages from the Baden-Sooss section (Middle Miocene of Vienna Basin, Austria). *Geologica Carpathica*, 59, 5, 447–460.
- Činčurová E., 1990: Prvý nález druhu *Sepia vindobonensis* Schloenbach, 1868 vo vrchnom bádene (Miocén M4d) pri Bratislave. *Zborník Slovenského národného múzea, Prírodné vedy*, 36, 3–7.
- Flower B.P. & Kennett J.P., 1994: The Middle Miocene climatic transition: East Antarctic ice sheet development, deep ocean circulation and global carbon cycling. *Palaeogeography, Palaeoclimatology, Palaeoecology*, 108, 537–555.
- Gartner S., Chen M.P. & Stanton R.J., 1983: Late Neogene nanofossil biostratigraphy and paleoceanography of the northeastern Gulf of Mexico and adjacent areas. *Marine Micropaleontology*, 8, 17–50.
- Grill R., 1941: Stratigraphische Untersuchungen mit Hilfe von Microfaunen im Wiener Becken und den benachbarten Molasse-Anteilen. Oel und Kohle, 31, 15, 595–603.
- Hammer Ø., Harper D.A.T. & Ryan P.D., 2001: PAST: Paleontological Statistics Software Package for Education and Data Analysis. *Palaeontologia Electronica*, 4, 1, 9 s. http://palaeo-electronica.org/2001_1/past/issue1_01.htm.
- Haq B.U., Premoli-Silva I. & Lohman G.P., 1977: Calcareous plankton paleobiogeographic evidence for major climatic fluctuations in the Early Cenozoic Atlantic Ocean. *Journal of Geophysical Research*, 82, 27, 3861–3876.
- Haq B.U., 1980: Biogeographic history of Miocene calcareous nannoplankton and paleoceanography of the Atlantic Ocean. *Micropaleontology*, 26, 414–443.
- Hebák P. & Hustopecký J., 1987: Vícerozmerné statistické metody s aplikacemi. SNTL/ ALFA, Praha, 429 s.
- Heckel J., 1850: Beiträge zur Kenntnis der fossilen Fische Österreichs. *Denkschriften der Österreichischen Akademie der Wissenschaften, mathematik – naturwissenschaften Klasse*, 1, 201–243.

- Heckel J., 1856: Beiträge zur Kenntniss der fossilen Fische Österreichs. *Denkschriften der Österreichischen Akademie der Wissenschaften, mathematisch – naturwissenschaften Klasse*, 11, 187–243.
- Heckel J. & Kner R., 1861: Neue Beiträge zur Kenntniss der fossilen Fische Österreichs. *Denkschriften der Österreichischen Akademie der Wissenschaften, mathematisch – naturwissenschaften Klasse*, 19, 47–76.
- Holcová K. & Zágoršek K., 2008: Bryozoa, foraminifera and calcareous nannoplankton as environmental proxies of the “bryozoan event” in the Middle Miocene of the Central Paratethys (Czech Republic). *Palaeogeography, Palaeoclimatology, Palaeoecology*, 267, 3–4, 216–234.
- Horák P., 1985: Miocénne otolity sedimentov iloviska v Rohožníku a hliniska tehelne v Devínskej Novej Vsi. Diplomová práca, archív Katedry geologie a paleontológie Prif UK, Bratislava, 48 s.
- Hudáčková N. & Kováč M., 1993: Sedimentary environment changes in the eastern part of the Vienna Basin during Upper Badenian and Sarmatian. *Mineralia Slovaca*, 25, 3, 202–210.
- Hudáčková N. & Hudáček J., 2001: Databáza fosílií – technické spracovanie. *Mineralia Slovaca, Geovestník*, 33, 2, 24.
- Hudáčková N. & Spezzaferri S., 2002: Statistical approach to reconstruct palaeoenvironments: an example from Miocene of Devínska Nová Ves (Central Paratethys, Vienna Basin, Slovak part). In: Yanko-Hombach V., Arnold A., Hallock P., Ishman S., McGann M. & Parker W.C. (Eds.): EMM'2002 Environmental Micropaleontology, Microbiology and Meiobenthology, Vienna, University of Vienna, Institute of Palaeontology, 99–101.
- Hudáčková N., Banasová M., Reháková D., Halászová E. & Lintnerová O., 2003: Distribution of planktonic and benthic foraminifera in correlation with calcareous dinoflagellate cysts derived from the Devínska Nová Ves clay pit (the Late Badenian lectotype locality) and their evidence for environmental reconstruction, sequence and biostratigraphy. In: Birth of the New World, Abstract book of the ESF–EEDEN Conference, Bratislava, Comenius University, 40–43.
- Jamrich M., 2008: Vápnité nanofosílie profilu DNV – tehelňa; biostratigrafické a paleoekologické interpretácie. Diplomová práca, archív Katedry geologie a paleontológie Prif UK, Bratislava, 89 s.
- Koubová I., 2006: Interpretácia paleoekologických podmienok na lokalite Devínska Nová Ves – tehelňa na základe foraminifer a obsahu izotopov v schránkach. Diplomová práca, archív Katedry geologie a paleontológie Prif UK, Bratislava, 75 s.
- Kováč M., Andreeva-Grigorovich A.S., Bajraktarević Z., Brzobohatý R., Filipescu S., Fodor L., Harzhauser M., Nagymarosy A., Oszczypko N., Pavelič D., Rögl F., Saftić B., Sliva L. & Studenčka B., 2007: Badenian evolution of the Central Paratethys Sea: paleogeography, climate and eustatic sea-level changes. *Geologica Carpathica*, 58, 6, 579–606.
- Kováčová P., 2008: Paleoprostredie Viedenskej a Dunajskej panvy (Centrálna Paratetýda) v miocene (karpat, báden) na základe spoločenstiev foraminifer: biostratigrafia, paleoekológia a stabilné izotopy ($\delta^{13}\text{C}$, $\delta^{18}\text{O}$). Dizertačná práca, archív Katedry geologie a paleontológie Prif UK, Bratislava, 154 s.
- Kováčová P. & Hudáčková N., 2009: Late Badenian foraminifers from the Vienna Basin (Central Paratethys): Stable isotope study and paleoecological implications. *Geologica Carpathica*, 60, 1, 59–70.
- Kováčová P., Emmanuel L., Hudáčková N. & Renard M., 2008: Central Paratethys paleoenvironment during the Badenian (Middle Miocene): evidence from foraminifera and stable isotope ($\delta^{13}\text{C}$ and $\delta^{18}\text{O}$) study in the Vienna Basin (Slovakia). *International Journal of Earth Sciences*, 98, 5, 1109–1127.
- Laurenčíková T., 1978: Biostratigrafické a paleontologické štúdium foraminifer tehelne Devínska Nová Ves. Diplomová práca, archív Katedry geologie a paleontológie Prif UK, Bratislava, 53 s.
- Lehotayová R., 1977: New data on calcareous nannoflora in pelites of the brick-klin at Devínska Nová Ves. *Západné Karpaty, séria paleontológia*, 2–3, 175–188.
- Lehotayová R., 1989: The calcareous nannoplankton of Badenian deposits from the borehole Devínska Nová Ves-1. *Západné Karpaty, séria Paleontológia*, 13, 61–68.
- Martini E., 1971: Standard Tertiary and Quaternary calcareous nannoplankton zonation. In: Farinacci A. (Ed.): Proceedings of the Second Planktonic Conference Roma 1970, Edizioni Tecnoscienza, Rome, 2, 739–785.
- Marunteanu M., 1999: Litho- and biostratigraphy (calcareous nannoplankton) of the Miocene deposits from the Outer Moldavides. *Geologica Carpathica*, 50, 4, 313–324.
- Marunteanu M., Crihan M. & Chira C., 1999: Badenian nannofossils zonation – the Carpathian area, Romania. *Acta Paleontologica Romaniae*, 2, 261–267.
- McIntyre A. & Bé A.W.H., 1967: Modern coccolithophorids of the Atlantic Ocean. I. Placoliths and cyrtoliths. *Deep-Sea Research*, 14, 561–597.
- Mihajlović D. & Knezević S., 1989: Calcareous nannoplankton from Badenian and Sarmatian deposits at Visnjica and Karaburma in Belgrade. *Annales Géologiques de la Péninsule Balkanique*, 53, 343–366.
- Negri A. & Villa G., 2000: Calcareous nannofossil biostratigraphy, biochronology and paleoecology at the Tortonian/Messinian boundary of the Faneromeni section (Crete). *Palaeogeography, Palaeoclimatology, Palaeoecology*, 156, 195–209.
- Okada H. & Honjo S., 1973: The distribution of oceanic coccolithophorids in the Pacific. *Deep-Sea Research*, 20, 365–374.
- Okada H. & McIntyre A., 1979: Seasonal distribution of modern coccolithophores in the western North Atlantic Ocean. *Marine Biology*, 54, 319–328.
- Ondrejíčková A., 1971: Bratislava – Devínska Nová Ves – fauna mäkkýšov. Manuskript, archív ŠGÚDŠ, 1, 18.
- Ozdínová S., 2008a: Bádenské vápnité nanofosílie z vrchu Gajary 23 (Viedenská panva). *Mineralia Slovaca*, 40, 3–4, 135–140.
- Ozdínová S., 2008b: Badenian calcareous nannofossils from Semerovce ŠV–8 and Cifer–1 boreholes (Danube Basin). *Mineralia Slovaca*, 40, 3–4, 141–150.
- Perch-Nielsen K., 1985: Cenozoic calcareous nannofossils. In: Bolli H.M., Saunders J.B. & Perch-Nielsen K. (Eds.): Plankton Stratigraphy. Cambridge University Press, Cambridge, 427–554.
- Schloenbach U., 1869: Kleine paläontologische Mittheilungen. VIII. Über *Sepia vindobonensis* Schloenbach sp. nov. aus dem neogenen Tegel von Baden bei Wien. *Jahrbuch der kaiserlich-königlichen Geologischen Reichsanstalt*, 19, 289–291.
- Sieber R., 1934: Zur Biologie der Miozän fauna des Wiener Beckens. *Biologia Generalis*, 10, 2, 341–358.
- Sitár V. & Kováčová-Slamková M., 1999: Palaeobotanical and palynological study of the Upper Badenian sediments from the NE part of the Vienna Basin (locality Devínska Nová Ves). *Acta paleobotanica, Supplement*, 2, 373–389.
- Spezzaferri S. & Čorić S., 2001: Ecology of Karpatian (Early Miocene) foraminifera and calcareous nannoplankton from Laa an der Thaya, Lower Austria: a statistical approach. *Geologica Carpathica*, 52, 6, 361–374.
- Streng M., Banasová M., Reháková D. & Willem H., 2009: An exceptional flora of calcareous dinoflagellates from the middle Miocene of the Vienna Basin, SW Slovakia. *Review of Palaeobotany and Palynology*, 153, 3–4, 225–244.
- Švagrovský J., 1981: Lithofaziale Entwicklung und Molluskenfauna des oberen Badeniens (Miozän M4d) in dem Gebiet Bratislava – Devínska Nová Ves. *Západné Karpaty, séria Paleontológia*, 7, 5–204.
- Švábenická L., 1999: *Braarudosphaera*-rich sediments in the Turonian of the Bohemian Cretaceous Basin, Czech Republic. *Cretaceous Research*, 20, 773–782.

- Tomanová Petrová P. & Švábenická L., 2007: Lower Badenian biostratigraphy and paleoecology: a case study from the Carpathian Foredeep (Czech Republic). *Geologica Carpathica*, 58, 4, 333–352.

Tomašových A., 1998: Bádenské mäkkýše z tehelne Devínska Nová Ves (Bratislava, Slovensko). *Mineralia Slovaca*, 30, 357–386.

Wade B.S. & Bown P.R., 2006: Calcareous nannofossils in extreme environments: The Messinian Salinity Crisis, Polemi Basin, Cyprus. *Palaeogeography, Palaeoclimatology, Palaeoecology*, 233, 271–286.

Walanus A. & Nalepká D., 2006: POLPAL 2004, ver. 2006, <http://bobas.ibpan.krakow.pl/institut/polpal2004/polpal.htm>.

Winter A., Jordan R.W. & Roth P.H., 1994: Biogeography of living coccolithophores in ocean waters. In: Winter A. & Siesser W.G. (Eds.): Coccolithophores. Cambridge University Press, Cambridge, 161–177.

Young J.R., 1998: Neogene. In: Bown P.R. (Ed.): Calcareous Nannofossil Biostratigraphy. Kluwer Academic, Dordrecht, 225–265.

Young J.R., 2010: Nannotax. <http://nannotax.org/>.

Zlinská A., 1987: Mikropaleontologická analýza vzoriek z vrtu DNV-1 (Devínska Nová Ves) (496,4–512,9). Manuskrift archív ŠGÚDŠ, 1, 6.

Braarudosphaera), occasionally higher turbulence of surface water masses (local slight increase of helicospherids and reworked nannofossils). Abundance of the species *Holodiscolithus macroporus* was noticed and quantified for the first time in the Upper Badenian deposits of the Central Paratethys and reflects surface water masses cooling in connection with global Middle Miocene cooling period (Middle Miocene Climatic Transition, MMCT). This affected temperature evolution in the Vienna Basin and also in the other parts of the Central Paratethys (Forecarpathian Basin, Carpathian Foredeep, Panonian Basin). Another organic groups – foraminifers with prevailing species *Globigerina bulloides* and calcareous dinoflagellates with species *Calcidinellum limbatum*, *C. aff. operosum*, *Juergenella remanei*, *Caracomia arctica forma duplicata*, *C. arctica forma spinosa* also pointed to decreasing temperature conditions during the Late Badenian period in the studied section DNV 1.

Cluster analysis was performed on the quantitative assemblage data. Four groups of samples (clusters A, B, C, D) related to different temperature, trophic and salinity conditions have been generated. The obtained

Summary: High resolution study of calcareous nannofossils from the DNV 1 section of the Late Badenian Studienka Formation of the Devínska Nová Ves – clay pit (eastern part of the Vienna Basin) was performed. Calcareous nannofossils were obtained from the grey to greenish calcareous clays. The density of sampling was 10 cm. Small-sized reticulofenestrids (*Reticulofenestra haqii*, *R. minuta*) have majority in all sixty nine studied samples. Dominance of placoliths of the genus *Reticulofenestra* over *Coccolithus pelagicus*, presence of *Holodisolithus macroporus*, *Syracospaera pulchra*, *Braarudosphaera bigelowii bigelowii*, *B. bigelowii parvula*, *Helicosphaera carteri*, *H. walbersdorfensis*, *H. wallichii*, *Micrantolithus vesper*, *M. flos*, *Pontosphaera multipora*, *Rhabdosphaera sicca*, *Sphenolithus abies*, *Umbilicosphaera rotula*, *Discoaster exilis*, *D. variabilis* and local higher abundance of reworked nannofossils of Cretaceous, Paleogene and Lower Miocene was distinguished. Calcareous nannofossils correlate with NN6 Discoaster exilis Zone (Martini, 1971) and foraminiferal Bulimina-Bolivina Zone (Grill, 1941).
Calcareous nannofossils document coastal environment with nutrient supply (indicated by prevailing of small *Reticulofenestra* over *Coccolithus pelagicus*), with cooling trend (abundance of *Holodisolithus macroporus*, low abundance of sphenoliths and rare discoasterids), with increasing of eutrophy (local enrichment in species of *Helicosphaera*, *Syracospaera pulchra*), salinity diminution (higher number in species of

Appendix

Tab. 1a. Distribúcia vápnitých nanofosílií na profile DNV 1 - tehelňa, abecedne zoradené.

Tab. 1a. Distribution of calcareous nannofossils in the DNV 1 - clay pit, alphabetically arranged

<i>Coccolithus miopelagicus</i>	0	0	0	0	0	0	0	0	0	0	0	0	2	0	0	0	0
<i>Coccolithus pelagicus</i>	37	30	28	22	17	34	29	43	54	26	20	37	13	8	24	49	27
<i>Coronocyclus nitescens</i>	0	0	0	0	1	0	2	0	2	0	1	0	0	0	0	0	1
<i>Coronosphaera mediterranea</i>	0	0	0	0	0	0	0	0	0	0	0	0	0	0	0	0	1
<i>Cyclargolithus floridanus</i>	0	0	0	0	0	0	0	0	0	1	0	1	0	0	0	0	4
<i>Discoaster deflandrei</i>	0	0	0	0	0	0	0	0	1	0	0	0	0	0	0	0	1
<i>Discoaster exilis</i>	0	0	0	1	0	0	0	0	0	0	0	0	0	0	0	0	0
<i>Discoaster sp.</i>	0	0	0	0	0	0	0	0	0	0	0	0	0	0	0	0	0
<i>Discoaster variabilis</i>	0	0	0	0	0	0	0	0	0	0	0	0	0	0	0	0	0
<i>Helicosphaera sp.</i>	1	0	0	0	0	0	0	0	0	0	0	0	0	0	0	0	0
<i>Helicosphaera walbersdorffensis</i>	1	0	1	1	0	0	0	1	1	0	0	0	0	1	0	0	0
<i>Holodiscolithus macroporus</i>	0	5	2	4	0	2	3	1	7	2	1	4	1	4	5	8	29
<i>Helicosphaera carteri</i>	4	7	10	6	0	2	2	1	6	0	1	1	2	0	6	0	1
<i>Helicosphaera wallichii</i>	0	0	0	0	0	0	0	0	0	0	1	0	2	0	7	0	0
<i>Lithostromation perdurum</i>	0	0	0	0	0	0	0	0	0	0	0	0	0	0	0	0	0
<i>Micrantholithus flos</i>	1	0	0	0	0	0	0	0	1	0	1	0	0	0	0	0	0
<i>Micrantholithus vesper</i>	0	0	0	0	0	0	0	0	0	0	0	0	0	0	0	0	0
<i>Orthorhabdus serratus</i>	0	0	0	0	0	0	0	0	0	0	0	0	0	0	0	0	0
<i>Perforocalcinella fusiformis</i>	0	0	0	0	0	0	0	0	0	0	0	0	0	0	0	0	0
<i>Pontosphaera multipora</i>	0	0	2	0	0	0	1	0	1	0	0	0	0	0	1	0	0
<i>Pontosphaera spp.</i>	0	0	0	0	0	0	0	0	0	0	0	0	0	0	0	0	0
<i>Reticulofenestra haqii</i>	121	143	127	130	126	143	134	160	126	153	128	131	117	138	105	83	94
<i>Reticulofenestra minuta</i>	3	2	10	15	4	7	6	0	2	32	13	8	15	10	11	10	43
<i>Reticulofenestra pseudoumbilicus</i>	2	4	6	3	9	4	1	7	4	34	7	9	18	8	13	6	6
<i>Reticulofenestra sp.</i>	0	0	0	0	0	0	0	0	0	0	0	0	0	0	0	0	0
<i>Rhabdosphaera sicca</i>	3	0	4	1	1	2	3	1	1	1	3	0	2	1	6	4	7
<i>Rhabdosphaera spp.</i>	0	0	0	0	0	0	0	0	0	0	0	0	0	0	0	0	0
<i>Scyphosphaera</i>	0	0	0	0	0	0	0	0	0	0	0	0	0	0	0	0	0
<i>Sphenolithus abies</i>	5	0	1	4	5	2	3	1	1	1	3	0	0	8	8	0	1
<i>Sphenolithus moriformis</i>	1	1	0	0	0	0	0	0	0	0	0	0	0	0	0	1	0
<i>Sphenolithus sp.</i>	0	0	0	0	1	0	0	0	0	0	0	0	0	0	0	0	0
<i>Syracosphaera pulchra</i>	7	13	14	6	15	16	21	20	11	15	8	18	30	3	5	8	30
<i>Syracosphaera spp.</i>	0	0	0	0	0	0	0	0	0	0	3	0	0	0	0	0	0
<i>Thoracosphaera spp.</i>	0	0	0	0	0	0	0	0	0	0	0	0	0	0	1	1	0
<i>Triquetrorhabdulus milowii</i>	0	0	0	0	0	0	0	0	0	0	0	0	0	0	0	0	0
<i>Triquetrorhabdulus río</i>	0	0	0	0	0	0	0	0	0	0	0	0	0	0	0	1	0
<i>Triquetrorhabdulus rugosus</i>	0	1	0	0	0	1	0	0	0	0	0	0	0	0	0	1	0
<i>Umbilicosphaera jafari</i>	0	0	0	0	0	0	0	0	0	0	0	0	0	0	0	0	1
<i>Umbilicosphaera rotula</i>	3	1	1	2	2	1	0	6	1	2	6	0	1	0	0	1	0

Tab. 1b. Distribúcia vápnitých nanofosílií na profile DNV 1 - tehelňa, abecedne zoradené.

Tab. 1b. Distribution of calcareous nannofossils in the DNV 1 - clay pit, alphabetically arranged.

<i>Triquetrorhabdulus milowii</i>	0	0	0	0	0	0	0	0	0	0	0	0	0	0	0	0	0
<i>Triquetrorhabdulus rioi</i>	0	0	0	0	0	0	0	0	0	0	0	0	0	0	0	0	0
<i>Triquetrorhabdulus rugosus</i>	0	0	0	0	0	0	1	0	1	0	0	0	0	0	0	0	2
<i>Umbilicosphaera jafari</i>	0	1	0	0	0	0	1	0	0	0	0	0	1	0	0	0	0
<i>Umbilicosphaera rotula</i>	0	0	1	0	4	3	10	5	0	2	9	1	0	2	1	1	0

Tab. 1c. Distribúcia vápnitých nanofosílií na profile DNV 1 - tehelňa, abecedne zoradené.

Tab. 1c. Distribution of calcareous nannofossils in the DNV 1 - clay pit, alphabetically arranged

<i>Sphenolithus abies</i>	1	0	1	4	0	1	0	3	2	3	0	0	1	2	2	0	0
<i>Sphenolithus moriformis</i>	0	0	0	0	0	1	0	0	0	1	0	0	0	0	0	0	0
<i>Sphenolithus</i> sp.	0	0	0	0	0	0	0	0	1	0	0	0	0	0	0	0	0
<i>Syracosphaera pulchra</i>	3	3	8	0	4	11	5	1	6	17	12	17	13	7	16	15	10
<i>Syracosphaera</i> spp.	0	0	0	0	0	0	0	0	0	0	0	0	0	0	0	0	0
<i>Thoracosphaera</i> spp.	1	0	0	0	0	0	0	0	0	0	0	0	0	0	0	1	1
<i>Triquetrorhabdulus milowii</i>	0	0	0	0	0	0	0	0	0	0	0	0	0	0	0	0	0
<i>Triquetrorhabdulus rioi</i>	0	1	0	0	0	0	0	0	0	0	0	0	0	0	0	0	0
<i>Triquetrorhabdulus rugosus</i>	1	1	0	0	0	0	1	0	0	0	0	0	0	0	0	0	0
<i>Umbilicosphaera jafari</i>	0	0	2	0	0	0	0	0	0	0	0	0	0	0	0	0	0
<i>Umbilicosphaera rotula</i>	0	0	8	0	5	1	2	1	1	0	0	1	1	1	5	12	0

Tab. 1d. Distribúcia vápnitých nanofosílií na profile DNV 1 - tehelňa, abecedne zoradené.

Tab. 1d. Distribution of calcareous nannofossils in the DNV 1 - clay pit, alphabetically arranged.

číslo vzorky	53	54	55	56	57	58	59	60	61	62	63	64	65	66	67	68	69
hĺbka [m]	7,6	7,7	7,8	7,9	8	8,1	8,2	8,3	8,4	8,5	8,6	8,7	8,8	8,9	9	9,1	9,2
<i>Braarudosphaera bigelowii bigelowii</i>	1	0	0	1	11	0	0	2	0	2	0	1	0	0	0	0	0
<i>Braarudosphaera bigelowii parvula</i>	0	0	2	0	0	0	0	0	3	0	1	0	0	2	1	1	1
<i>Calcidiscus leptoporus</i>	0	0	0	0	0	0	0	0	0	0	1	0	0	0	0	0	0
<i>Calcidiscus premacintyrei</i>	0	0	2	0	1	0	2	0	0	0	1	0	0	1	0	0	0
<i>Calciosolenia murrayi</i>	0	0	0	1	1	1	0	1	0	0	0	2	0	1	2	3	0
<i>Coccolithus miopelagicus</i>	0	0	0	0	0	0	0	0	0	0	0	0	0	0	0	0	0
<i>Coccolithus pelagicus</i>	27	26	32	27	31	27	20	13	18	8	24	13	5	20	14	13	18
<i>Coronocyclus nitescens</i>	0	1	0	0	0	0	1	0	0	0	0	0	0	1	0	0	0
<i>Coronosphaera mediterranea</i>	0	0	0	0	0	0	0	0	0	0	0	0	0	0	0	0	0
<i>Cyclcocolithus floridanus</i>	0	0	0	0	0	0	0	0	0	0	0	1	0	3	2	0	0
<i>Discoaster deflandrei</i>	0	0	0	0	0	1	0	0	0	0	0	0	0	0	0	0	0
<i>Discoaster exilis</i>	0	0	0	0	0	0	0	0	0	0	0	0	0	0	0	0	0
<i>Discoaster</i> sp.	0	0	0	0	0	0	0	0	0	0	0	0	0	0	0	0	0
<i>Discoaster variabilis</i>	0	0	0	0	0	0	0	0	0	0	0	0	0	0	1	0	0
<i>Helicosphaera</i> sp.	0	0	0	2	0	0	0	0	0	0	0	0	0	0	0	0	0
<i>Helicosphaera walbersdorfensis</i>	1	0	1	0	0	0	0	0	0	0	1	0	0	2	1	0	0
<i>Holodiscolithus macroporus</i>	16	18	10	19	24	3	3	2	11	12	2	5	1	9	3	3	3
<i>Helicosphaera carteri</i>	6	9	19	16	8	16	0	4	16	8	12	7	2	4	0	3	2
<i>Helicosphaera wallichii</i>	3	1	2	1	0	0	5	6	1	0	0	1	2	4	0	1	1
<i>Lithostromation perdurum</i>	0	0	0	0	0	0	0	0	0	0	0	0	0	0	0	0	0
<i>Micrantholithus flos</i>	0	0	0	0	0	0	0	0	0	0	0	0	0	0	0	0	0
<i>Micrantholithus vesper</i>	0	0	0	0	0	0	0	0	0	0	0	0	0	0	0	0	0
<i>Orthorhabdus serratus</i>	0	0	0	1	0	0	0	0	0	0	0	0	0	0	1	1	0
<i>Perforocalcinella fusiformis</i>	0	0	0	0	0	0	0	1	0	0	0	0	0	0	0	0	0
<i>Pontosphaera multipora</i>	5	4	3	5	2	0	4	1	3	2	0	0	0	0	5	2	1
<i>Pontosphaera</i> spp.	0	0	0	0	0	0	0	0	0	0	0	0	0	0	0	0	0
<i>Reticulofenestra haqii</i>	115	113	107	112	121	140	143	144	128	143	127	127	40	90	126	120	120

<i>Reticulofenestra minuta</i>	4	9	6	0	4	2	3	5	0	0	16	17	5	9	15	22	7
<i>Reticulofenestra pseudoumbilicus</i>	6	5	2	5	18	3	6	11	4	6	1	10	5	20	5	13	15
<i>Reticulofenestra</i> sp.	0	0	0	0	0	0	0	0	0	0	0	0	0	0	0	0	0
<i>Rhabdosphaera sicca</i>	3	2	1	1	1	3	2	1	3	1	3	2	0	13	2	4	11
<i>Rhabdosphaera</i> spp.	0	0	0	0	0	0	0	0	0	0	0	0	0	0	1	0	0
<i>Scyphosphaera</i>	0	0	0	0	0	0	0	0	0	0	0	0	0	0	0	0	0
<i>Sphenolithus abies</i>	0	1	6	8	3	3	1	0	4	6	0	0	0	0	0	0	0
<i>Sphenolithus moriformis</i>	0	0	0	0	0	0	0	0	0	0	1	0	0	0	0	0	0
<i>Sphenolithus</i> sp.	0	0	0	1	0	0	0	0	0	0	0	0	0	0	0	0	0
<i>Syracosphaera pulchra</i>	4	6	4	15	7	10	9	10	14	14	12	14	11	43	15	13	19
<i>Syracosphaera</i> spp.	0	0	0	0	0	0	0	0	0	0	0	0	0	0	0	0	0
<i>Thoracosphaera</i> spp.	0	0	0	0	0	0	0	0	0	0	1	0	0	1	0	0	0
<i>Triquetrorhabdulus milowii</i>	0	1	2	1	0	0	0	0	0	0	0	0	0	0	0	0	0
<i>Triquetrorhabdulus riosi</i>	0	0	0	0	0	0	0	0	0	0	0	0	0	0	0	0	0
<i>Triquetrorhabdulus rugosus</i>	0	0	0	1	0	0	0	0	0	1	0	0	0	0	1	0	0
<i>Umbilicosphaera jafari</i>	0	0	0	0	0	0	1	0	0	0	0	0	0	1	0	0	0
<i>Umbilicosphaera rotula</i>	4	11	4	5	3	0	1	1	1	0	1	2	0	3	1	3	0

Tab. 2. Zoznam určených miocénnych nanofosílií na lokalite DNV 1 - tehelňa, abecedne zoradené.

Tab. 2. List of Miocene nannofossils in the DNV 1 - clay pit, alphabetically arranged.

Zoznam určených miocénnych nanofosílií	suma nanofosílií	počet vzoriek
<i>Braarudosphaera bigelowii bigelowii</i> (Gran & Braarud, 1935) Deflandre, 1947a	84	36
<i>Braarudosphaera bigelowii parvula</i> Stradner, 1960	76	41
<i>Calcidiscus leptoporus</i> (Murray & Black, 1898) Loeblich & Tappan, 1978	1	1
<i>Calcidiscus premacintyrei</i> Theodoridis, 1984	8	6
<i>Calciosolenia murrayi</i> Gran, 1912	24	13
<i>Cocco lithus miopelagicus</i> Bukry, 1971	3	2
<i>Cocco lithus pelagicus</i> (Wallich, 1877) Schiller, 1930	1705	69
<i>Coronocyclus nitescens</i> (Kamptner, 1956) Bramlette & Wilcoxon, 1967a	25	17
<i>Coronosphaera mediterranea</i> (Lohmann 1902) Gaarder in Gaarder a Heimdal, 1977	1	1
<i>Cyclcargolithus floridanus</i> (Roth & Hay in Hay et al., 1967) Bukry, 1971a	24	12
<i>Discoaster deflandrei</i> (Bramlette & Riedel, 1954)	4	4
<i>Discoaster exilis</i> Martini & Bramlette, 1963	1	1
<i>Discoaster</i> sp. (Tan, 1927)	3	3
<i>Discoaster variabilis</i> Martini & Bramlette, 1963	1	1
<i>Helicosphaera</i> sp. (Kamptner, 1954)	10	5
<i>Helicosphaera walbersdorfensis</i> Müller, 1974	25	22
<i>Holodiscolithus macroporus</i> (Deflandre in Deflandre & Fert, 1954) Roth, 1970	780	66
<i>Helicosphaera carteri</i> (Wallich, 1877) Kamptner, 1954	352	63
<i>Helicosphaera wallichii</i> (Lohmann, 1902) Theodoridis, 1984	175	45
<i>Lithstromation perdurum</i> (Deflandre, 1942)	3	2
<i>Micrantholithus flos</i> Deflandre in Deflandre & Fert, 1954	13	7
<i>Micrantholithus vesper</i> Deflandre in Deflandre & Fert, 1954	12	3

<i>Orthorhabdus serratus</i> Bramlette & Wilcoxon, 1967a	10	10
<i>Perforocalcinella fusiformis</i> Bóna, 1964	2	2
<i>Pontosphaera multipora</i> (Kamptner, 1948) Roth, 1970	117	43
<i>Pontosphaera</i> spp. (Lohmann, 1902)	3	2
<i>Reticulofenestra haqii</i> Backmann, 1978	7802	69
<i>Reticulofenestra minuta</i> Roth, 1970	830	60
<i>Reticulofenestra pseudoumbilicus</i> (Gartner, 1967b) Gartner, 1969c	514	68
<i>Reticulofenestra</i> sp. Hay et al., 1966	5	2
<i>Rhabdosphaera sicca</i> (Stradner, 1963) Fuchs & Stradner, 1977	213	5
<i>Rhabdosphaera</i> spp. Haeckel, 1894	1	1
<i>Scyphosphaera</i> Lohmann, 1902	3	2
<i>Sphenolithus abies</i> Deflandre in Deflandre and Fert, 1954	109	40
<i>Sphenolithus moriformis</i> (Brönnimann & Stradner, 1960) Bramlette & Wilcoxon, 1967a	11	9
<i>Sphenolithus</i> sp. Deflandre in Grassé, (1952)	9	7
<i>Synacosphera pulchra</i> Lohmann, 1902	816	68
<i>Syracosphaera</i> spp. Lohmann 1902	5	2
<i>Thoracosphaera</i> spp. Kamptner (1927)	16	10
<i>Triquetrorhabdulus milowii</i> Bukry, 1971	4	3
<i>Triquetrorhabdulus rioi</i> Olafsson, 1989	2	2
<i>Triquetrorhabdulus rugosus</i> Bramlette & Wilcoxon, 1967a	13	12
<i>Umbilicosphaera jafari</i> Müller, 1974b	8	7
<i>Umbilicosphaera rotula</i> (Kamptner, 1956) Varol, 1982	145	21

Tab. 3a. Distribúcia redeponovaných vápnitých nannofosílií kriedového veku v abecednom poradí, počet nannofosílií vo všetkých preštudovaných vzorkách, počet pozitívnych vzoriek.

Tab. 3a. Distribution of calcareous nannofossils reworked from the Cretaceous deposits in alphabetical sequence, number of nannofossils in all studied samples, number of all samples.

Zoznam určených redeponovaných nannofosílií kriedového veku	suma nannofosílií	počet vzoriek
<i>Ahmullerella octoradiata</i> (Górka, 1957) Reinhardt, 1966	1	1
<i>Amphizygus brooksi</i> Bukry, 1969	1	1
<i>Arkhangelskiella cymbiformis</i> Vekshina 1959	27	20
<i>Biscutum constans</i> (Górka, 1957) Black in Black & Barnes, 1959	1	1
<i>Biscutum magnum</i> Wind and Wise in Wise & Wind, 1977	3	3
<i>Broinsonia parca</i> (Stradner, 1963) Bukry, 1969 ssp. <i>parca</i>	1	1
<i>Calculites obscurus</i> (Deflandre, 1959) Prins & Sissingh in Sissingh, 1977	6	5
<i>Ceratolithoides aculeus</i> (Stradner, 1961) Prins & Sissingh in Sissingh, 1977	1	1
<i>Ceratolithoides</i> Bramlette & Martini, 1964	1	1
<i>Ceratolithoides kamptneri</i> Bramlette & Martini, 1964	1	1
<i>Ceratolithoides quasiarcuatus</i> Burnett, 1988a	1	1
<i>Ceratolithoides verbeekii</i> Perch-Nielsen, 1979a	1	1
<i>Corollithion</i> Stradner, 1961	1	1
<i>Cretarhabdus conicus</i> Bramlette & Martini, 1964	7	5
<i>Cretarhabdus</i> sp. Bramlette & Martini, 1964	4	4

<i>Cribrosphaerella ehrenbergii</i> (Arkhangelsky, 1912) Deflandre in Piveteau, 1952	13	9
<i>Cruciellipsis civillieri</i> (Manivit, 1966) Thierstein, 1971	3	3
<i>Cyclagelosphaera margerelii</i> Noël, 1965	8	8
<i>Diazomatolithus lehmanii</i> Noël, 1965	3	3
<i>Hayella challengerii</i> (Müller, 1974a) Theodoridis, 1984	1	1
<i>Helicolithus</i> sp. Noël, 1970	1	1
<i>Helicolithus trabeculatus</i> (Górka, 1957) Verbeek, 1977	1	1
<i>Helicosphaera mediterranea</i> Müller, 1981	1	1
<i>Lithraphidites quadratus</i> Bramlette & Martini, 1964	1	1
<i>Loxolithus armilla</i> (Black in Black & Barnes, 1959) Noël, 1965	2	2
<i>Manivitella pemmatoides</i> (Deflandre in Manivit, 1965) Thierstein, 1971	1	1
<i>Markalius inversus</i> (Deflandre in Deflandre & Fert, 1954) Bramlette & Martini, 1964	2	1
<i>Marthasterites furcatus</i> Deflandre, 1959	2	2
<i>Microantholithus hoschulzii</i> (Reinhardt, 1966) Thierstein, 1971	3	3
<i>Microrhabdulus decoratus</i> Deflandre, 1959	15	13
<i>Micula adumbrata</i> Burnett, 1998b	1	1
<i>Micula concava</i> (Stradner in Martini & Stradner, 1960) Verbeek, 1976b	1	1
<i>Micula decussata</i> Vekshina, 1959	26	21
<i>Micula staurophora</i> (Gardet, 1955) Stradner, 1963	52	29
<i>Nannoconus kampptneri</i> Brönnimann, 1955 ssp. Minor Bralower in Bralower et al., 1989	1	1
<i>Octolithus multiplex</i> (Perch-Nielsen, 1973) Romein, 1979	4	3
<i>Owenia hillii</i> Crux, 1991b	3	3
<i>Prediscosphaera cretacea</i> (Arkhangelsky, 1912) Gartner, 1968	26	21
<i>Prediscosphaera grandis</i> Perch-Nielsen, 1979a	9	7
<i>Prediscosphaera</i> sp. Vekshina, 1959	1	1
<i>Pseudomicula quadrata</i> Perch-Nielsen in Perch-Nielsen et al., 1978	2	1
<i>Quadrum gartneri</i> Prins & Perch-Nielsen in Manivit et al., 1977	2	1
<i>Radioolithus planus</i> Stover, 1966	1	1
<i>Reinhardtites</i> Perch-Nielsen, 1968	4	4
<i>Rhagodiscus splendens</i> (Deflandre, 1953) Verbeek, 1977	6	5
<i>Rotelapillus</i> Noël, 1973	1	1
<i>Tranolithus phacelosus</i> Stover, 1966	3	3
<i>Uniplanarius gothicus</i> (Deflandre, 1959) Hattner & Wise, 1980	4	2
<i>Uniplanarius sissinghii</i> Perch-Nielsen, 1986b	2	2
<i>Uniplanarius trifidus</i> (Stradner in Stradner & Papp, 1961) Hattner & Wise, 1980	1	1
<i>Watznaueria barnesae</i> (Black, 1959) Perch-Nielsen, 1968	116	44
<i>Watznaueria britannica</i> (Stradner, 1963) Reinhardt, 1964	1	1
<i>Watznaueria manivitiae</i> Bukry, 1973b	1	1

Tab. 3b. Distribúcia redeponovaných vápnitých nanofosílií paleogénneho a spodnomiocénneho veku v abecednom poradí, počet nanofosílií vo všetkých preštudovaných vzorkách, počet pozitívnych vzoriek.

Tab. 3b. Distribution of calcareous nannofossils reworked from the Paleogene and Early Miocene deposits in alphabetical sequence, number of nannofossils in all studied samples, number of all samples.

Zoznam určených redeponovaných nanofosílií paleogénneho a spodnomiocénneho veku	suma nanofosílií	počet vzoriek
<i>Coccolithus eopelagicus</i> (Bramlette & Riedel, 1954) Bramlette & Sullivan, 1961	2	1
<i>Coccolithus formosus</i> (Kamptner, 1963) Wise, 1973	26	18
<i>Dictyococcites bisectus</i> (Hay et al., 1966) Bukry & Percival, 1971	17	11
<i>Discoaster druggi</i> Bramlette & Wilcoxon, 1967	2	2
<i>Discoaster multiradiatus</i> Bramlette & Riedel, 1954	2	2
<i>Helicosphaera euphratensis</i> Haq, 1966	1	1
<i>Heliolithus kleinpelli</i> Sullivan, 1964	1	1
<i>Chiasmolithus bidens</i> (Bramlette & Sullivan, 1961) Hay & Mohler, 1967	1	1
<i>Chiasmolithus grandis</i> (Bramlette & Riedel, 1964) Radomski, 1968	2	2
<i>Chiasmolithus solitus</i> (Bramlette & Sullivan, 1961) Locker, 1968	1	1
<i>Chiasmolithus</i> sp. Hay, Mohler & Wade, 1966	8	8
<i>Chiastozygus bifarius</i> Bukry, 1969	2	2
<i>Chiastozygus litterarius</i> (Górka, 1957) Manivit, 1971	5	5
<i>Isthmolithus recurvus</i> Deflandre in Deflandre & Fert, 1954	1	1
<i>Lanternolithus minutus</i> Stradner, 1962	4	4
<i>Nannotetraena fulgens</i> (Stradner, 1960) Achuthan & Stradner, 1969	2	2
<i>Neococcolithes dubius</i> (Deflandre in Deflandre & Fert, 1954) Black, 1967	2	2
<i>Neochiastozygus</i> sp. Perch-Nielsen, 1971a	1	1
<i>Pontosphaera latelliptica</i> (Báldi-Beke & Baldi, 1974) Perch-Nielsen, 1974	4	4
<i>Pontosphaera rothii</i> Haq, 1971	2	1
<i>Prinsius</i> sp. Hay & Mohler, 1967	1	1
<i>Reticulofenestra dictyoda</i> (Deflandre in Deflandre & Fert, 1954) Stradner in Stradner & Edwards, 1968	1	1
<i>Reticulofenestra hillae</i> Bukry & Percival, 1971	1	1
<i>Reticulofenestra lockeri</i> Müller, 1970	6	3
<i>Reticulofenestra oamaruensis</i> (Deflandre in Deflandre & Fert, 1954) Stradner in Haq, 1968	1	1
<i>Reticulofenestra umbilicus</i> (Levin, 1965) Martini & Ritzkowski, 1968	6	5
<i>Rhomboaster orthostylus</i> (Shamrai 1963) Bybell & Self-Trial 1995	3	3
<i>Sphenolithus dissimilis</i> Bukry & Percival, 1971	1	1
<i>Sphenolithus heteromorphus</i> Deflandre (1953)	7	5
<i>Sphenolithus pseudoradians</i> Bramlette & Wilcoxon 1967	1	1
<i>Toweius</i> sp. Hay & Mohler, 1967	4	3
<i>Transversopontis</i> sp. Hay et al., 1966	1	1
<i>Zeugrhabdotus diplogrammus</i> (Deflandre in Deflandre & Fert, 1954) Burnett in Gale et al., 1996	13	10
<i>Zeugrhabdotus embergeri</i> (Noël, 1958) Perch-Nielsen, 1984	8	6
<i>Zeugrhabdotus sigmoides</i> RK-P (Bramlette & Sullivan, 1961) Bown & Young, 1997	10	8
<i>Zeugrhabdotus</i> sp. RK-P Reinhardt, 1965	5	5
<i>Zygrhablithus bijugatus</i> (Deflandre in Deflandre & Fert, 1954) Deflandre, 1959	9	8